

*Myxidium rhinoclemmysi* sp. nov. Mutschmann und Neubert (siehe Abb. 39- 50)

Diese Spezies wurde bei der Gefurchten Erd- Schildkröte, *Rhinoclemmys areolata*, gefunden. Sowohl Sporen als auch Entwicklungsstadien wurden in den folgenden Organen nachgewiesen: Niere, Leber, Gallenblase und Darm. Die Niere scheint der Hauptinfektionsort zu sein. Dort fanden sich die Trophozoite im Interstitium, in den Glomeruli, den Lumina der Tubuli sowie in den Tubulusepithelzellen.

Die Sporen haben elliptische bis ovoidale Gestalt mit deutlich abgerundeten Enden. Pro Schalenklappe wurden etwa acht feine Streifen in Längsrichtung festgestellt. In frischen Ausstrichen erscheint die Nahtlinie gerade und undeutlich. Die beiden leicht pyriformen Polkapseln sind an den Enden der Spore lokalisiert und enthalten das dünne Polarfilament. Dieses liegt in drei bis vier Windungen vor. Das leicht granuliert erscheinende Sporoplasma liegt in der Mitte der Sporenhöhle und enthält zwei Kerne.

Die Sporengröße (n= 34) beläuft sich auf  $12,7 \pm 0,6 \mu\text{m}$  ( $11,4 \mu\text{m}$ -  $13,6 \mu\text{m}$ ) x  $5,5 \pm 0,8 \mu\text{m}$  ( $3,9 \mu\text{m}$ -  $6,9 \mu\text{m}$ ). Die Polkapseln hatten eine Länge von  $4,2 \pm 0,6 \mu\text{m}$  ( $3,1 \mu\text{m}$ - $5,1 \mu\text{m}$ ) und eine Breite von  $2,8 \pm 0,7 \mu\text{m}$  ( $2,6 \mu\text{m}$ - $3,1 \mu\text{m}$ ).

Die vegetativen Stadien sind Plasmodien mit annähernd kugeliger oder irregulärer Gestalt. Sie erreichen einen Durchmesser bis  $52 \mu\text{m}$ . Die Oberfläche erscheint glatt. Ekto- und Endoplasma können mit dem Lichtmikroskop nicht unterschieden werden. Die Plasmodien enthielten einen oder mehrere Pansporoblasten sowie freie Sporen. Die Pansporoblasten waren disporogen.

**Abbildung 39** *Myxidium rhinoclemmysi* sp.nov.  
- Spore, Niere, nativ, x1000



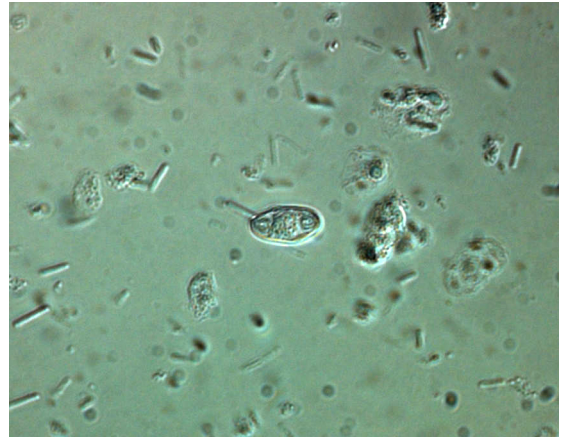
**Abbildung 40** *Myxidium rhinoclemmysi* sp.nov.  
- Spore, Niere, nativ, x1000



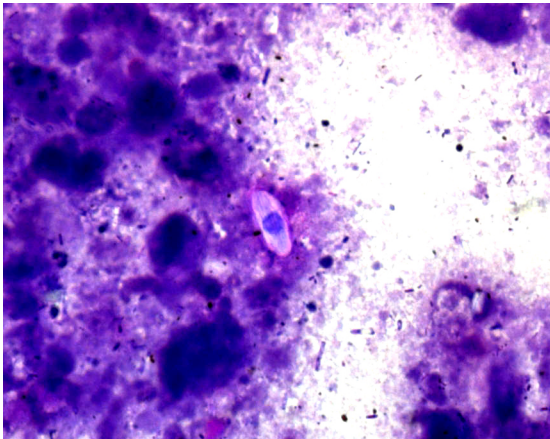
**Abbildung 41** *Myxidium rhinoclemmysi* sp.nov.  
- Spore, Niere, nativ, x1000



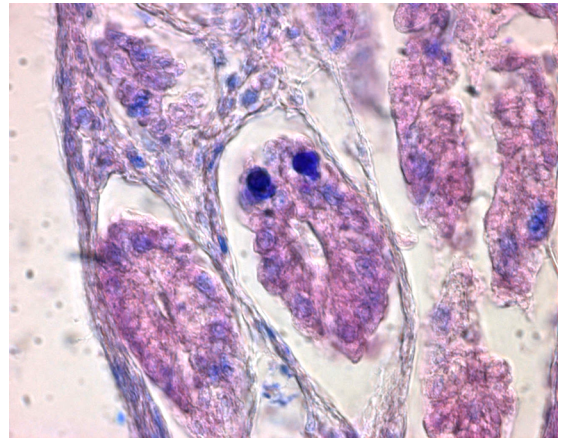
**Abbildung 42** *Myxidium rhinoclemmysi* sp.nov.  
- Spore, Niere, nativ, x1000



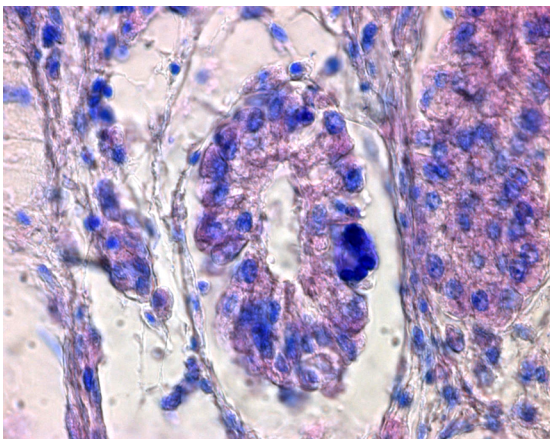
**Abbildung 43** *Myxidium rhinoclemmysi* sp.nov.  
- Spore mit deutlich gefärbtem Sporoplasma,  
Niere, Giemsa, x1000



**Abbildung 45** *Myxidium rhinoclemmysi* sp.nov.  
- Plasmodium im Nierentubulusepithel, MG,  
x1000



**Abbildung 44** *Myxidium rhinoclemmysi* sp.nov.  
- Plasmodium, Niere, MG, x1000



**Abbildung 46** *Myxidium rhinoclemmysi* sp.nov.  
- Plasmodium, Niere, MG, x1000

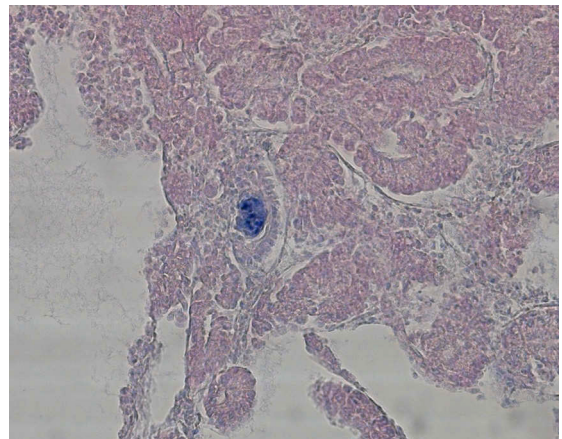


Abbildung 47 Spore von *Myxidium rhinoclemmysi* sp. nov., Niere, nativ, x1000

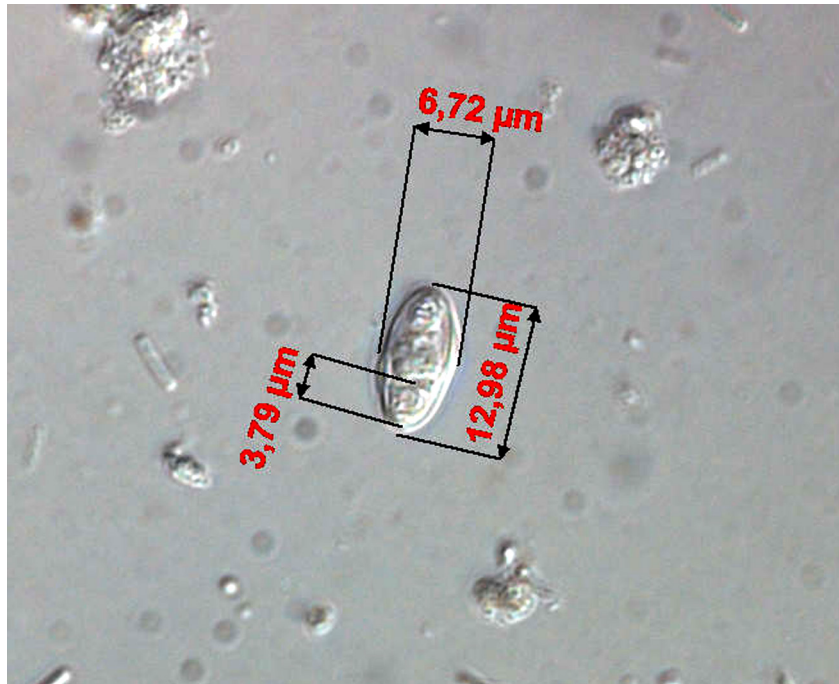


Abbildung 48 Spore von *Myxidium rhinoclemmysi* sp. nov. (REM)



**Abbildung 49** Spore von *Myxidium rhinoclemmysi* sp. nov.



**Abbildung 50** Spore von *Myxidium rhinoclemmysi* sp. nov.

